

ARTIGO

ALGUMAS PROPRIEDADES ESPECTROSCÓPICAS DOS PRODUTOS CÍCLICOS DA REAÇÃO DE ACILAÇÃO ANIDRA DE 1,4-DIFENILTIOSSEMICARBAZIDA

C. A. Montanari

Departamento de Química/ICEB/UFOP - Caixa Postal 21 - 35400-000 - Ouro Preto-MG

J. P. B. Sandall

RHBNC - University of London - London - England

Y. Miyata e N. Z. Kyian

Instituto de Química/USP - S. Paulo - SP

J. Miller

Laboratório de Tecnologia Farmacêutica/UFPB - João Pessoa - PB

Recebido em 20/7/92; cópia revisada em 16/3/93

The structure of the reaction products of anhydroacylation of 1,4-diphenyltiosemicarbazide are investigated. They are identified as 1,3,4-thiadiazolium-2-aminide and 1,3,4-triazolium-2-thiolate by means of IR, UV and ^1H NMR. $^1\text{J}(\text{H}-\text{N})$ coupling constants have established that protonation site on mesoionic 1,3,4-thiadiazolium-2-aminide as a conjugate acid is at the exocyclic nitrogen; the latter can yield either the corresponding free base or its isomer 1,3,4-triazolium-2-thiolate. There is no endocyclic protonation either on both mesoionic systems. A new photochemical conversion of the mesoionic in 1,3,4-thiadiazolium-2-aminide to 1,3,4-triazolium-2-thiolate is presented.

Keywords: mesoionic compounds; ^{15}N satellite in ^1H NMR; photochemical rearrangement.

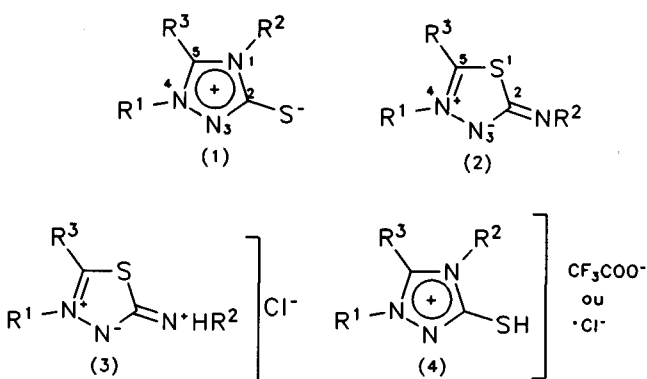
INTRODUÇÃO

A síntese de compostos mesoionícicos pertencentes ao sistema 1,3,4-triazólio-2-tiolato, 1, tem sido estudada extensivamente e vários métodos de preparação podem ser encontrados¹. Uma rota comum para sua preparação envolve a reação de acilação anidra de tiosemicarbazidas dissubstituídas^{2,3}. Em 1957 foi sugerida a possibilidade de que o produto dessa reação também poderia ser formulado como sendo pertencente ao isômero 1,3,4-tiadiazólio-2-aminida, 2⁴. Entretanto, esta possibilidade foi abandonada quando as propriedades espectroscópicas de ambos os sistemas foram estudadas. Em 1967^{3,5,6}, ficou comprovado que 1 representava a estrutura heterocíclica do produto da reação.

Uma análise minuciosa dessas propriedades espectroscópicas mostra que a importância relativa da RMN de ^1H em sistemas mesoionícicos dá-se quando existe um átomo de hidrogênio ligado diretamente ao anel heterocíclico. Valores da ordem de 9 ppm foram reportados para o sinal de RMN de ^1H para o mesoionico 1,3,4-triazólio-2-tiolato, 1e. O grupo metila ligado ao nitrogênio-4, δ 3,8, tem sido usado como característico desses sistemas mesoionícicos. Entretanto, derivados como 1d apresentam o grupo metila em δ 4,10, enquanto que seu isômero covalente, 5, não mesoionico - com o grupo metila ligado ao nitrogênio-3, o 1,3,4-triazol-2-tiona, mostra esse grupo metila a δ 4,16^{2,12,20,21}.

Estudos dos deslocamentos químicos em derivados metilados, realizados por Ohta e colaboradores⁶ identificaram o produto da reação entre iodeto de 1,3,4-tiadiazólio-2-metiltiona, 6, e metilamina como sendo 1f, através do derivado metilado 7: um sinal a δ 2,8 foi atribuído como pertencente ao grupo S-Me que difere daquele devido a N-Me (anelar, ligado ao N-1 em 7), que tem o deslocamento químico a δ 3,8. Com base nesses resultados os autores sugeriram que os produtos da reação de tiosemicarbazidas 1,4-dissubstituídas e aldeídos, obtidos por Busch e seus colaboradores^{1,22}, têm a estrutura do sistema mesoionico 1,3,4-triazólio-2-tiolato, 1, e não seu isômero 1,3,4-tiadiazólio-2-aminida, 2.

A última sugestão pareceu estar de acordo com a análise efetuada por Evans e Milligan⁵, que indicaram o sistema 1,3,4-triazólio-2-tiolato, 1, como o produto da reação de 1,4-difeniltiosemicarbazida e ácido fórmico, e, não seu isômero 1,3,4-tiadiazólio-2-aminida, 2. Esse resultado, entretanto, foi obtido por comparação do deslocamento químico (δ 9,9) do hidrogênio ligado ao carbono-5 no produto daquela reação, 1g, e o deslocamento químico (δ 9,53) do hidrogênio na mesma posição mas no sistema mesoionico 1,3,4-triazólio-2-aminida, 8⁵.



- (a) $\text{R}^1 = \text{R}^2 = \text{R}^3 = \text{C}_6\text{H}_5$
- (b) $\text{R}^1 = \text{R}^2 = \text{C}_6\text{H}_5 \text{ R}^3 = \text{p-MeO-C}_6\text{H}_4$
- (c) $\text{R}^1 = \text{R}^2 = \text{C}_6\text{H}_5 \text{ R}^3 = \text{p-O}_2\text{N-C}_6\text{H}_4$
- (d) $\text{R}^1 = \text{Me} \text{ R}^2 = \text{C}_6\text{H}_5 \text{ R}^3 = \text{pirazinila}$
- (e) $\text{R}^1 = \text{Me} \text{ R}^2 = \text{C}_6\text{H}_5 \text{ R}^3 = \text{H}$
- (f) $\text{R}^1 = \text{R}^3 = \text{C}_6\text{H}_5 \text{ R}^2 = \text{Me}$
- (g) $\text{R}^1 = \text{R}^2 = \text{C}_6\text{H}_5 \text{ R}^3 = \text{H}$

Figura 1. Estruturas moleculares dos sistemas 1,3,4-triazólio-2-tiolato, 1 e 4, e 1,3,4-tiadiazólio-2-aminida, 2 e 3.

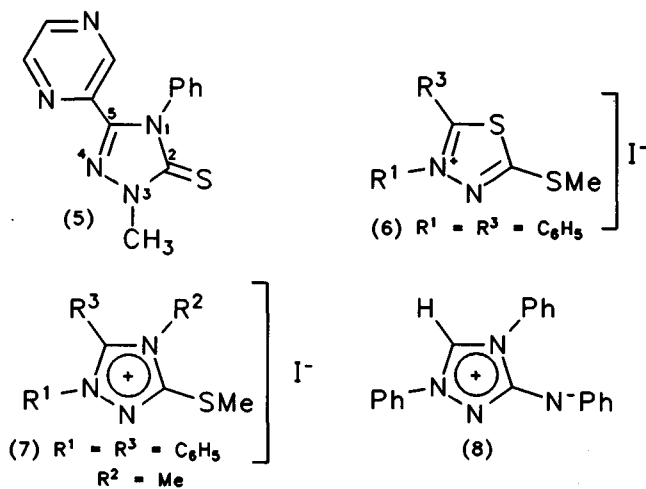


Figura 2. Estruturas moleculares do isômero covalente do mesoionico 1,3,4-triazólio-2-tiolato e outras de interesse.

As propriedades espectroscópicas apresentadas pela técnica de IV mostram, nos espectros obtidos, uma absorção forte a 1350 cm^{-1} que tem sido atribuída ao grupo exocíclico C=S em derivados de 1^{2,7-10}. Ollis e Ramsden reportaram que o estiramento exocíclico C=S apresenta absorção que varia entre 1320 e 1330 cm^{-1} ¹¹. O valor de 1330 cm^{-1} foi atribuído ao composto 1d¹². Uma banda a 1350 cm^{-1} encontrada no espectro de IV de 1f, foi utilizada por Ohta e colaboradores como suporte à estrutura desse 1,3,4-triazólio-2-tiolato⁶.

Os ácidos conjugados 4, apresentam absorções a 2760 cm^{-1} , atribuídas ao grupo S-H exocíclico^{3,11,13,14}. Esse argumento também foi utilizado para justificar a estrutura de 1 como sendo o 1,3,4-triazólio-2-tiolato, e não seu isômero 1,3,4-tiadiazólio-2-aminida, 2. É importante ressaltar que 4 foi descrito como o produto obtido através da reação de acilação anidra de 1,4-difeniltossemicarbazida.

Os espectros de IV de 3 apresentam absorções nas regiões de 2700 - 2900 e 1500 - 1540 cm^{-1} que são atribuídas ao estiramento e vibrações angulares de N-H, respectivamente; absorções na região de 1500 - 1600 cm^{-1} foram assinaladas para o estiramento C=N¹¹.

A absorção máxima de UV de 1 aparece a 300 e 240 nm ^{2,7-10}. A absorção máxima de UV de 2 aparece a 400 e 250 nm . O ácido conjugado 3 apresenta absorções típicas da ordem de 340 e 260 nm sendo que as primeiras apresentam metade da intensidade das últimas (ϵ 10.000 e 20.000 , respectivamente).

Como parte de um programa de síntese de compostos mesoionicos com atividade biológica potencial¹⁴⁻¹⁶, estudamos a reação de acilação anidra de 1,4-difeniltossemicarbazida novamente; pretendemos mostrar que o produto dessa reação tem a estrutura do sistema 1,3,4-tiadiazólio-2-aminida, 2, que é obtido através de seu ácido conjugado 3, o primeiro produto da reação. Este último pode experimentar um rearranjo molecular para formar derivados com a estrutura 1; os compostos com a estrutura 2 também podem isomerizar para 1. As propriedades espectroscópicas dos produtos cílicos da reação, 1-4, sugerem uma reformulação dos conceitos que a norteiam. Além disso, um estudo fotoquímico preliminar mostrou que a isomerização 2 \rightarrow 1 pode ser um novo método de interconversão entre os dois sistemas mesoionicos em estudo.

MATERIAIS E MÉTODOS

Os compostos mesoionicos foram preparados por métodos publicados^{2,7-10,14,16}. Os compostos 3a-c foram obtidos mantendo-se a mistura reacional (em 1,4-dioxano) sob refluxo por

2 horas¹⁶. Os compostos 2a-c foram obtidos passando-se amônia gasosa secada em uma torre de cal soda por uma solução de 3a-c em clorofórmio. Os compostos 1a-c foram obtidos quando os ácidos conjugados de 2, 3a-c, foram mantidos sob refluxo por 3 horas em piridina. E, finalmente, os compostos 4a-c foram preparados pela adição de ácido trifluoroacético sobre 1a-c ou pela ação de ácido clorídrico diluído sobre 2a-c.

Os espectros de RMN de ^1H foram obtidos no espetrômetro Bruker WH400 no Chemistry Department, Queen Mary and Westfield College, University of London. TMS foi usado como referência externa e as amostras foram dissolvidas em DMSO-d₆ ou CDCl₃, em soluções típicas de $3,3 \cdot 10^{-2}\text{ M}$. O ácido trifluoroacético foi utilizado como referência interna e D₂O como "lock", na obtenção dos espectros de RMN de ^1H dos ácidos conjugados 4. Os espectros de UV e IV foram obtidos no Instituto de Química da USP, nos espetrômetros UV/VIS Perkin-Elmer Lambda 3B e Perkin-Elmer FT-IR 1750, respectivamente. Os espectros de UV foram obtidos em solução de acetonitrila com concentração de $2 \cdot 10^{-2}\text{ g/l}$ enquanto que os de IV foram obtidos em pastilhas de KBr.

Para a confirmação indubitável das estruturas isoméricas foi realizado um estudo de RMN de ^1H em moléculas contendo átomos de nitrogênio isotopicamente enriquecido. Esses compostos foram assim sintetizados: Anilina contendo ^{15}N foi preparada pela nitração (1g H $^{15}\text{NO}_3$, solução aquosa a 40% em 10 ml de anidrido trifluoroacético) de benzeno. O nitrobenzeno respectivo foi reduzido (Sn/HCl) e a anilina resultante reagiu com dissulfeto de carbono para formar o isotiocianato de fenila que por reação com fenilidrazina produziu a 1,4-difeniltossemicarbazida contendo N-4 isotopicamente enriquecido^{16,17}. Este produto foi, então, submetido à reação de acilação anidra para obter-se o respectivo ácido conjugado, 3. Para a obtenção dos átomos de nitrogênio isotopicamente enriquecidos nas posições -3 (eventual sítio de protonação), e -4 dos sistemas heterocíclicos, fenilidrazina foi preparada a partir da diazotação de anilina- ^{15}N com Na $^{15}\text{NO}_2$ ou NaNO₂ e posterior aquecimento, 90°C/1h, da solução diazotada com Na₂SO₃/Na₂S₂O₃.5H₂O¹⁷.

A fotoisomerização de 2a, em clorofórmio ($2 \cdot 10^{-2}\text{ g/l}$), foi realizada por irradiação com lâmpada de mercúrio em atmosfera de nitrogênio por um período de 35 minutos, à temperatura ambiente. Alíquotas foram retiradas e o espectro de UV/VISível obtido até que 1a fosse identificado¹⁶.

RESULTADOS E DISCUSSÃO

Os dados espectrais de RMN ^1H dos derivados dos sistemas 1,3,4-triazólio-2-tiolato, 1 e 4, e 1,3,4-tiadiazólio-2-aminida, 2 e 3, encontram-se nas Tabelas I e II, respectivamente. Os sinais de RMN de ^1H a δ 13, para o ácido conjugado 3, são característicos dos prótons do grupamento NH. O uso de nitrogênio-4 isotopicamente enriquecido, (^{15}N), na tiossemicarbazida, que se torna exocíclico no sistema mesoionico, mostrou que esses sinais se dividem, formando dupletos. As constantes de acoplamento encontradas na Tabela III sugerem a existência de ligação direta entre nitrogênio-hidrogênio^{16,23}. Não há qualquer sinal de ressonância de próton a δ 4.

Os ácidos conjugados dos compostos 1,3,4-triazólio-2-tiolato, 4, apresentam, no espectro de RMN de ^1H , um sinal a δ 4,1 que foi atribuído como sendo S-H, que é característico para o próton desse grupo. Essa atribuição constitui importante suporte em favor da estrutura 1. Os espectros de RMN de ^1H utilizando átomos de nitrogênio-3 isotopicamente enriquecidos (^{15}N) não mostraram a existência de qualquer ligação N-H. O espectro de infravermelho apresentou bandas que aparecem a 2700 cm^{-1} . Trabalhos anteriores mostraram que essa banda é característica para o estiramento do grupo S-H no sistema mesoionico 4, e, esta tem sido usada como suporte na

Tabela I. Deslocamentos químicos de RMN de ^1H para 1,3,4-triazólio-2-tiolato, 1 e 4.

Compostos	δ_{MeO}	δ_{SH}	δ_{Ar}
1a ^a	-	-	7,48-7,35 (m, 13 H); 7,30-7,26 (t, 2 H)
1b ^a	3,67 (s, 3 H)	-	7,47-7,39 (m, 10 H); 7,31-7,29 (d, 2 H); 6,84-6,82 (d, 2 H)
1c ^a	-	-	8,17-8,15 (d, 2 H); 7,75-7,73 (d, 2 H); 7,48-7,40 (m, 10 H)
4a			
(CF ₃ COOH)	-	4,1	7,38-7,05 (m, 11 H); 6,93-6,87 (m, 4 H)
4b			
(CF ₃ COOH)	3,65 (s, 3 H)	4,08	7,77-7,44 (m, 10 H); 7,22-7,20 (d, 2 H); 6,95-6,93 (d, 2 H)
4c			
(CF ₃ COOH)	-	4,07	8,30-8,28 (d, 2 H); 7,77-7,46 (m, 12 H)

Solvente: ^a DMSO-d₆

Tabela II. Deslocamentos químicos de RMN de ^1H para 1,3,4-tiadiazólio-2-aminida, 2 e 3.

Compostos	δ_{MeO}	δ_{Ar}	δ_{NH}
3a ^a	-	7,72-7,40 (m, 14 H); 7,16-7,12 (t, 1 H)	12,92 (s, 1 H, largura = 8 Hz \pm 0,5 Hz)
3b ^a	3,8 (s, 3 H)	7,72-7,59 (m, 7 H); 7,43-7,39 (m, 4 H); 7,14-7,11 (t, 1 H); 7,06-7,04 (s, 2 H)	12,75 (s, 1 H)
3c ^a	-	8,34-8,32 (d, 2 H); 7,84-7,82 (d, 2 H); 7,72-7,58 (m, 7 H); 7,46-7,42 (t, 2 H); 7,17-7,14 (t, 1 H)	13,03 (s, 1 H)
2a ^b	-	7,42-7,21 (m, 13 H); 7,08-7,06 (d, 2 H); 7,00-6,97 (t, 1 H)	-
2b ^b	3,78 (s, 3 H)	7,43-7,27 (m, 14 H); 7,00-6,98 (s, 2 H); 6,75-6,73 (s, 2 H)	-
2c ^b	-	8,16-8,14 (d, 2 H); 7,63-7,44 (m, 7 H); 7,34-7,30 (t, 2 H); 7,07-7,05 (s, 2 H); 6,99-6,95 (t, 1 H)	-

Solvente: ^a DMSO-d₆; ^b CDCl₃

Tabela III. Constantes de acoplamento $^1\text{J}(^1\text{H}-^{15}\text{N}_{\text{exo}})$ para 1,3,4-tiadiazólio-2-aminida, 3.

Compostos	Solvente	$^1\text{J}(^1\text{H}-^{15}\text{N}_{\text{exo}})^{\text{a}}$, (Hz)
3a	DMSO-d ₆	88,03 \pm 0,39
3b	DMSO-d ₆	80,03 \pm 0,39
3c	DMSO-d ₆	82,79 \pm 0,39

^a Constantes de acoplamento obtidas a partir do espetro de RMN de ^1H .

formulação do produto da reação de acilação anidra de 1,4-difeniltiossemicarbazida. A Tabela IV mostra as principais bandas atribuídas aos ácidos conjugados 3, onde é agora postulado que referida banda advém da existência de um grupoamento exocíclico do tipo imônio, $=\text{N}^+\text{H}^+$, e não $\text{S}-\text{H}^{18}$.

Na desprotonação de 3 que origina a respectiva base livre do sistema 1,3,4-tiadiazólio-2-aminida, a mais significativa diferença se dá com o desaparecimento da banda a 2760 cm⁻¹ do primeiro e o aparecimento da banda a 1670 para o segundo, esperado quando da neutralização. A Tabela V mostra algumas das principais bandas atribuídas para a base livre 2.

As Tabelas VI-VIII mostram as duas bandas máximas de absorção dos espetros de absorção no UV dos derivados 1,3,4-tiadiazólio-2-aminida, 2 e 3, e 1,3,4-triazólio-2-tiolato, 1. Os espetros de UV/Visível não foram obtidos para os derivados 4.

Os compostos mesoionicos do tipo 2, apresentam bandas no visível. Caracteristicamente, o espetro de UV/Visível

Tabela IV. IV para os ácidos conjugados do sistema 1,3,4-tiadiazólio-2-aminida, 3.

Banda(cm ⁻¹)\Composto	3a	3b	3c
=C-H	3051	3049	3028
=N ⁺ H	2762	2663	2768
C=CAr	1608	1605	1603
C=N	1570	1573	1569

Tabela V. IV para os derivados do sistema 1,3,4-tiadiazólio-2-aminida, 2.

Banda (cm ⁻¹)\Composto	2a	2b	2c
=C-H	3056	3054	3060
C=N _{exo}	1670	1666	1674
C=CAr	1599	1605	1600
C=N	1544	1569	1565

exemplificado pelo composto 2a apresenta uma banda a 420 nm, que não aparece em seus respectivos ácidos conjugados, 3, e nem tampouco nos compostos 1a-c. Esta propriedade espectroscópica pode ser utilizada como um bom argumento na diferenciação estrutural dos dois sistemas mesoionicos, e, suporta a formulação tiadiazólica para os produtos da reação de

Tabela VI: UV para os ácidos conjugados do sistema 1,3,4-tiadiazólio-2-aminida, 3.

Banda (nm)\Composto	3a	3b	3c
λ_{MI}	383*	363	369
ϵ_{MI}	5629	19775	2524
λ_{Ph}	276*	263	271
ϵ_{Ph}	40219	33617	38997

Solvente: acetonitrila.

* Valores obtidos no UV/VIS Perkin-Elmer 551S, em CHCl_3 .

Índices: MI, Ph: atribuições devidas ao anel Mesolônico e fenilas, respectivamente.

Tabela VII: UV para os compostos da série 1,3,4-tiadiazólio-2-aminida, 2.

Banda (nm)\Composto	2a	2b	2c
λ_{MI}	345	345	-
ϵ_{MI}	4326	4846	-
λ_{Ph}	251	257	267
ϵ_{Ph}	21385	27965	48620

Solvente: acetonitrila.

Índices: MI e Ph: atribuições devidas ao anel Mesolônico e fenilas, respectivamente.

Tabela VIII: UV para os compostos da série 1,3,4-triazólio-2-tiolato, 1.

Banda (nm)\Composto	1a	1b	1c
λ_{MI}	360*	334	388
ϵ_{MI}	3948	6031	898
λ_{Ph}	260*	256	269
ϵ_{Ph}	42441	37695	29920

Solvente: acetonitrila.

* Valores obtidos no UVVIS Perkin-Elmer 551S, em CHCl_3 .

Índices: MI e Ph: atribuições devidas ao anel Mesolônico e fenilas, respectivamente.

acilação anidra de 1,4,-difeniltiossemicarbazida. Vale a pena ressaltar, ainda, que a banda de absorção no UV devida ao anel mesoionico no composto 2c está, provavelmente, encoberta pela banda devida aos anéis aromáticos.

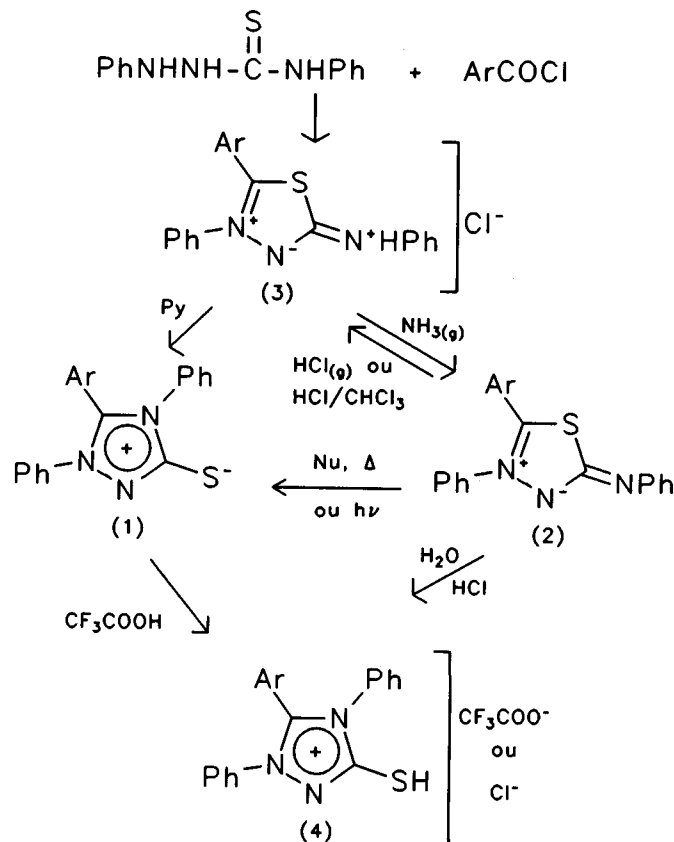
A fragmentação fotoquímica de alguns compostos mesoionicos já foi estudada¹⁹. Nesse estudo, os autores se valeram do processo de fotólise que decompõe a estrutura mesoionica em fotofragmentos, com o objetivo de estudar o mecanismo de fotofragmentação de mesoionicos 1,3,4-tiadiazólio-2-olato e -tiolato. Com base nesse trabalho, um estudo preliminar foi realizado no sentido de se aplicar o processo fotoquímico à isomerização 2 → 1. O composto 2a foi irradiado com luz de mercúrio e a reação foi acompanhada até a obtenção de 1a, através da espectroscopia de UV, como parâmetro espectroscópico. 2a apresenta duas absorções máximas a 420 nm e 254 nm e uma terceira banda aparece na região do UV a 348 nm. Depois de transcorridos 15 min do início do experimento, um espectro intermediário foi obtido, o qual apresentou as três bandas iniciais com aumento de intensidade e ainda duas novas bandas na região do visível: 492 e 550 nm. Finalmente, a 20 min o espectro devido ao composto 1a foi obtido: $\lambda_{max} = 260$ nm e $\lambda_{max} = 360$ nm. Estes dados sugerem que a

isomerização 2 → 1 pode se dar fotoquimicamente e, portanto, pode ser incluída como uma nova rota sintética na preparação de derivados do sistema 1,3,4-triazólio-2-tiolato, a partir de seu isômero 1,3,4-tiadiazólio-2-aminida¹⁶. Novos experimentos estão em andamento no sentido de identificar-se os intermediários da isomerização e a aplicabilidade do método de fotoisomerização na síntese de compostos pertencentes ao sistema heterocíclico 1.

CONCLUSÃO

Os sistemas mesoionicos 1,3,4-triazólio-2-tiolato, 1, e 1,3,4-tiadiazólio-2-aminida, 2, representam exemplos de pares isoméricos que são estruturalmente relacionados pela troca endocíclica-exocíclica de grupos de átomos ou heteroátomos que podem experimentar interconversão através de diferentes métodos. Durante nossos estudos no campo dos compostos mesoionicos, a interconversão 2 → 1 foi novamente avaliada com o objetivo de comprovar a estrutura do produto da reação de acilação anidra de 1,4-difeniltiossemicarbazida como sendo pertencente ao sistema 1,3,4-tiadiazólio-2-aminida, 2, e não seu isômero 1,3,4-triazólio-2-tiolato, 1. O último pode, entretanto, ser obtido a partir do primeiro através de um rearranjo que leva ao produto termodinamicamente mais estável.

Embora os resultados apresentados neste trabalho estejam direcionados em favor da análise ora efetuada, vale a pena ressaltar que os experimentos de RMN de ^1H utilizando-se de átomos de nitrogênio isotopicamente enriquecidos (^{15}N) que atuam como "satélites" constituem a maior evidência para a formulação dos dois sistemas isoméricos. Resumidamente: (i) os ácidos conjugados 3 - primeiros produtos obtidos diretamente



$\text{Ar} = (\text{a}) \text{Ph}, (\text{b}) \text{p-MeO-C}_6\text{H}_4, (\text{c}) \text{p-O}_2\text{N-C}_6\text{H}_4$

Figura 3. Nova proposta para a reação de acilação anidra de 1,4-difeniltiossemicarbazida.

mente da reação de acilação anidra de 1,4-difeniltiosemicarbazida, apresentam o sinal de RMN de ^1H como um díbelo que coalesce a δ 13 quando átomos de nitrogênio (N-exocíclico) em abundância natural são usados; (ii) a não protonação dos átomos de nitrogênio endocíclicos, atribuída pela inexistência de díbletos relativos a $^{15}\text{N}(3)\text{-H}$, tanto nos ácidos conjugados 3 quanto 4.

Destarte, a reação de acilação anidra de 1,4-difeniltiosemicarbazida, normalmente apresentada através da equação $\text{Ar}(\text{R}^3)\text{COCl} + \text{R}^1\text{NHNCNSNR}^2 \rightarrow 1$ pode ser re-estruturada para a proposta apresentada na Figura 3.

AGRADECIMENTOS

Os autores agradecem ao Conselho Nacional de Desenvolvimento Científico e Tecnológico, CNPq, pelo auxílio financeiro: Proc. CNPq número 200.718-89.

REFERÊNCIAS

1. (a) Busch, M.; *Ber.*, (1895), **28**, 2635 (b) Busch, M. e Münker, H.; *J. Prakt. Chem.*, (1899), **60**, 212 (c) Busch, M. e Best, F.; *ibidem*, p. 225 (d) Busch, M.; *ibidem*, (1903), **67**, 201; Busch, M.; Kamphausen, W. e Schneider, S.; *ibidem*, p. 216 (e) Busch, M. e Schneider, S.; *ibidem*, p. 246 (f) Busch, M. e Blume, E.; *ibidem*, p. 257.
2. Ollis, W. D. e Ramsden, C. A.; *Adv. Heterocycl. Chem.*, (1976), **19**, 1.
3. Potts, K. T.; Roy, S. K. e Jones, D. P.; *J. Heterocycl. Chem.*, (1965), **2**, 105; *J. Org. Chem.*, (1967), **32**, 2245.
4. (a) Baker, W.; Ollis, W. D. e Poole, V. D.; *J. Chem. Soc.*, (1949), 307 (b) Baker, W. e Ollis, W. D.; *Quart. Rev.*, (1957), **11**, 15.
5. Evans, G. W. e Milligan, B.; *Austral. J. Chem.*, (1967), **20**, 1779.
6. Ohta, M.; Kato, H. e Kaneko, T.; *Bull. Chem. Soc. Japan*, (1967), **40**, 579.
7. Ohta, M. e Kato, H.; em J. P. Snyder *Non Benzenoid Aromatics*, (1969), **16**(I), 117, Academic Press, New York.
8. Potts, K. T.; *Lect. Heterocycl. Chem.*, (1978), **4**, 35.
9. (a) Yashunskii, V. G. e V. V. Ogorodnikova; *Khimiya Geterotsiklicheskikh Soedinenii*, (1981), No. 3, 291 (b) Chuiguk, V. A.; *ibidem*, (1983), No. 1, 3.
10. Newton, C. G. e Ramsden, C. A.; *Tetrahedron*, (1982), **38**(20), 2965.
11. (a) Ollis, W. D. e Ramsden; *Chem. Commun.* 1971, 1222 (b) *J. Chem. Soc. Perkin I*, (1974), 633; (c) *Ibidem*, 645; (d) Hanley, R. N.; Ollis, W. D. e Ramsden, C. A.; *Ibidem*, (1979), 747.
12. Shutske, G. M.; *J. Heterocyclic Chem.*, (1981), **18**, 1017.
13. Potts, K. T.; *J. Org. Chem.*, (1974), **39**, 3619.
14. (a) Duarte, H. C.; Síntese de novos compostos mesoionicos com atividade biológica potencial, Dissertação de Mestrado apresentada ao Instituto de Química da Universidade Estadual de Campinas, (1979); (b) Lima, A. E. A. N.; Síntese e mecanismo de compostos mesoionicos aril-triazólios, Tese de Doutoramento, Instituto de Química, USP, (1986); (c) Montanari, C. A. Derivados de acil-hidrazinas, acil-semicarbazidas e acil-tiosemicarbazidas e aplicações em síntese de compostos mesoionicos, com atividade biológica potencial; Dissertação de Mestrado, Instituto de Química, USP, (1987); (d) Pereira, A. B.; Betaínas Heterocíclicas: Aspectos sintéticos e estruturais de alguns derivados mesoionicos; Tese de Doutoramento, Instituto de Química, USP, 1988.
15. (a) Echevarria, A. e Miller, J.; *J. Chem. Res. (S)*, (1987), 391; *J. Chem. Res. (M)*, (1987), 3187 (b) Echevarria, e Miller, J.; *J. Chem. Soc. Perkin Trans. II*, (1989), 1425 (c) Miller, J.; Miyata, Y. e Montanari, C.A.; *3rd Brazilian Meeting on Organic Synthesis*, (1989), São Carlos/SP, Abstract PS. 4.19, p.150 (d) Barbosa, R.C.S.C.; Echevarria, A.; Giesbrecht, A. M.; Miller, J.; Montanari, C. A.; Oliveira, M. B. e Pereira, A. B.; *7th European Symposium on Quantitative Structure-Activity Relationships*, (1988), Interlaken, Switzerland.
16. Montanari, C. A.; Propriedades espectroscópicas e atividade biológica de algumas betaínas heterocíclicas, Tese de Doutoramento, Instituto de Química, USP, (1991).
17. (a) Vogel, A. I.; *A Text-Book of Practical Organic Chemistry*, 3rd ed. (1956), Longmans, 563 (b) Sumitomo Chemical Co., Ltd.; Jpn Kokai Tokkyo Koho JP58 26,852 [83 26,852] (CLC07C109/04), 17 Feb 1983, Appl. 81/126,441, 11 Aug 1981, 5pp; *Chemical Abstract*, **98**, 215306.
18. (a) Dauben, W. G. e Epstein, W. W.; *J. Org. Chem.*, (1959), **24**, 1595 (b) Silverstein, R. M.; Bassler, G. C. e Morril, T. C.; in "Spectrometric identification of organic compounds", (1981), John Wiley & Sons, New York.
19. Mukherjee, R. e Moriarty, R. M.; *Tetrahedron*, (1976), **32**, 661.
20. Shutske, G. M. e Agnew, M. N.; *J. Heterocyclic Chem.*, (1981), **18**, 1025.
21. Lazaris, A. Ya. e Egorochkin, A. N.; *Nauk SSSR, Seriya Khimicheskaya*, (1979), No. 8, 1870.
22. (a) Busch, M.; Opfermann, E. e Walter, H.; *Ber.*, (1904), **37**, 2318 (b) Busch, M. e Holzmann, H.; *ibidem*, (1901), **34**, 320.
23. (a) Levy, G. C. e Lichten, R. L.; *Nitrogen-15, Nuclear Magnetic Resonance Spectroscopy* 1979, Wiley-Interscience Publication (b) Witanowski, W. e Stefaniak, L.; *Ann. Rep. on NMR Spectrosc.*, (1986), **18**, 1.